

## ЗАВИСИМОСТЬ ВРЕМЕНИ ЖИЗНИ НОСИТЕЛЕЙ ТОКА В КРЕМНИИ, ЛЕГИРОВАННОМ ЗОЛОТОМ, ОТ СТЕПЕНИ КОМПЕНСАЦИИ

Касымова Р. С., Абдукаримова Х. Р.

Проведен теоретический анализ влияния заполнения центров золота в  $n$ -кремни на стационарную фотопроводимость. Установлена сильная связь между временем жизни неравновесных носителей тока и степенью компенсации материала. Показано, что высокая фоточувствительность в случае слабой компенсации ( $N_d \gg N_{Au}$ ) может быть погашена оптическим возбуждением или повышением температуры.

Ранее нами был проведен анализ влияния оптической перезарядки центров золота и тепловых забросов с этих центров на стационарную фотопроводимость кремния [1]. Было показано, что на разных участках возбуждения фоточувствительность кремния, легированного золотом,

$N_d^+$  меняется в зависимости от степени заполнения центров примеси неравновесными электронами.

В настоящей работе приведены результаты расчета зависимости времени жизни фотовозбужденных носителей тока в кремнии, легированном золотом, от степени

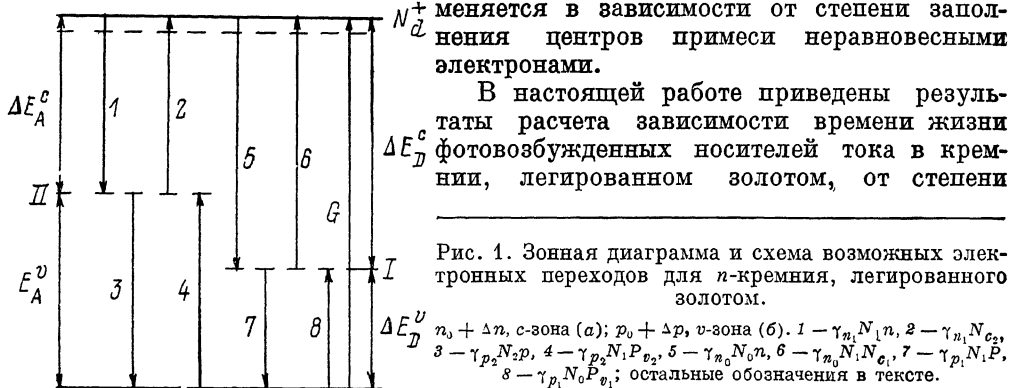


Рис. 1. Зонная диаграмма и схема возможных электронных переходов для  $n$ -кремния, легированного золотом.

$n_0 + \Delta n$ , с-зона (а);  $p_0 + \Delta p$ , в-зона (б). 1 —  $\gamma_{n_1} N_1 n$ , 2 —  $\gamma_{n_2} N_2 c$ ,  
3 —  $\gamma_{p_2} N_2 p$ , 4 —  $\gamma_{p_2} N_1 P_{e_2}$ , 5 —  $\gamma_{n_0} N_0 n$ , 6 —  $\gamma_{n_0} N_1 N_{e_1}$ , 7 —  $\gamma_{p_1} N_1 P_{e_1}$ ,  
8 —  $\gamma_{p_1} N_0 P_{v_1}$ ; остальные обозначения в тексте.

компенсации, выполненные по методике, предложенной в [1]. Расчет проведен на примере  $n$ -кремния. Диапазон изменения исходной концентрации мелких доноров  $N_d = 10^{14} \div 6 \cdot 10^{15} \text{ см}^{-3}$ . Концентрация центров золота  $N_{Au} = 10^{15} \text{ см}^{-3}$ .

Известно, что центры золота в кремнии могут находиться в трех зарядовых состояниях:  $-1, 0, +1$ , которым соответствуют два энергетических уровня: акцепторный, расположенный на  $E_A^c = 0.54 \text{ эВ}$  от дна зоны проводимости, и донорный, расположенный на  $E_D^c = 0.35 \text{ эВ}$  от потолка валентной зоны [2]. В условиях термодинамического равновесия уровни золота заполняются равновесными электронами согласно условию компенсации, и соответственно в зонах существует некоторая концентрация свободных носителей  $n_0, p_0$ .

При освещении полупроводника светом происходит оптическая перезарядка уровней. На рис. 1 показана схема возможных электронных переходов с указанием их интенсивностей для однородно легированного золотом  $n$ -кремния при наличии генерации неравновесных носителей  $G$ . Здесь принятые следующие обозначения:  $N_0, N_1, N_2$  — концентрации положительно заряженных, нейтральных и отрицательно заряженных центров золота соответственно.  $N_0 +$

$+N_1 + N_2 = N_{\text{Au}}$  — полная концентрация центров золота;  $n = n_0 + \Delta n$  и  $p = p_0 + \Delta p$  — соответственно концентрация свободных электронов и дырок;  $\gamma_{ni}$  и  $\gamma_{pi}$  — коэффициенты захвата свободных носителей соответствующими центрами;  $N_{c1}$ ,  $N_{c2}$  и  $P_{v1}$ ,  $P_{v2}$  — приведенные плотности состояний соответственно в зоне проводимости и валентной зоне относительно нижнего (I) и верхнего (II) уровней. Направления стрелок указывают захват и тепловой заброс электронов на уровни и с них в соответствующие зоны.

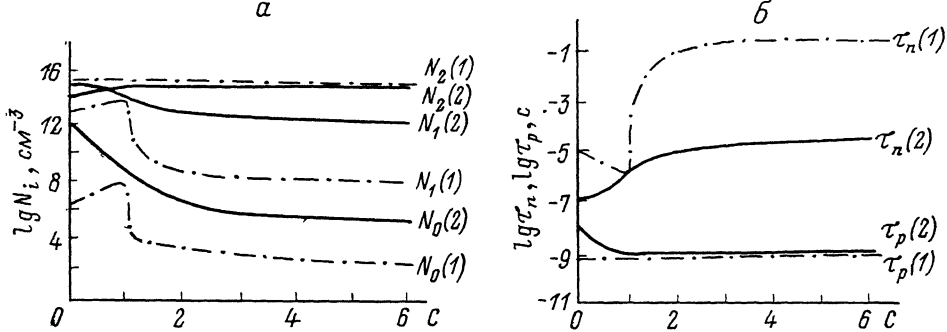


Рис. 2. Зависимости концентраций многозарядных центров золота (а) и времени жизни носителей тока (б) в  $n$ -кремнии от степени компенсации.

$C = N_d/N_{\text{Au}}$ ;  $N_{\text{Au}} = 10^{15} \text{ см}^{-3}$ ;  $T = 77 \text{ К}$ ;  $G, \text{ см}^{-3} \cdot \text{с}^{-1}$ ; штрихпунктирные кривые —  $10^{16}$ , сплошные кривые —  $10^{20}$ . Обозначения те же, что и на рис. 1.

На рис. 2 показаны полученные из расчета зависимости концентраций многозарядных центров золота и времени жизни носителей тока от степени компенсации при среднем ( $G \approx 10^{16} \text{ см}^{-3} \cdot \text{с}^{-1}$ ) и высоком ( $G \approx 10^{20} \text{ см}^{-3} \cdot \text{с}^{-1}$ ) уровнях возбуждения для низкой (77 K) температуры, а на рис. 3 — аналогичные зависимости для комнатной (300 K) температуры. На рисунках по оси абсцисс отложена величина  $C$ , равная отношению  $N_d/N_{\text{Au}}$  и характеризующая степень компенсации кремния.

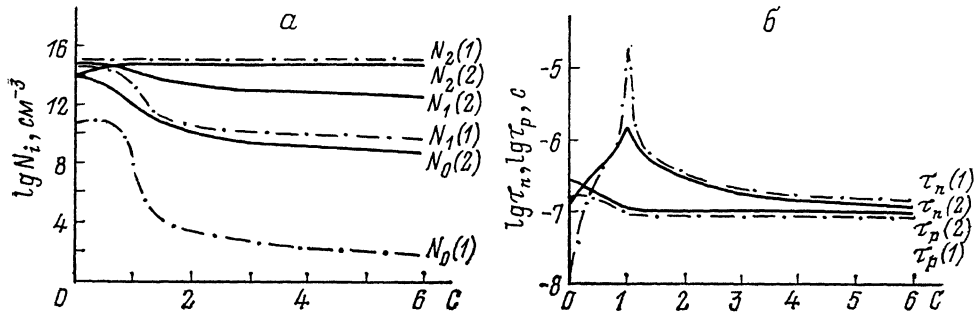


Рис. 3. Зависимости концентрации многозарядных центров золота (а) и времени жизни носителей тока (б) в  $n$ -кремнии от степени компенсации.

$T = 300 \text{ K}$ ; остальные обозначения и параметры те же, что и на рис. 1, 2.

В стационарном случае выражения для времени жизни электронов и дырок (с учетом приведенных на рис. 1 электронных переходов) могут быть записаны как [1]

$$\tau_n = \frac{\Delta n}{G} = \frac{\Delta n}{U_2 + U_1} = \frac{\Delta n}{[\gamma_{n1} N_1 n - \gamma_{n1} N_2 N_{c2}] + [\gamma_{n0} N_0 n - \gamma_{n0} N_1 N_{c1}]}, \quad (1)$$

$$\tau_p = \frac{\Delta p}{G} = \frac{\Delta p}{V_2 + V_1} = \frac{\Delta p}{[\gamma_{p2} N_2 p - \gamma_{p2} N_1 \nu_{v2}] + [\gamma_{p1} N_1 p - \gamma_{p1} N_0 \nu_{v1}]}, \quad (2)$$

где  $U_1$ ,  $U_2$  и  $V_1$ ,  $V_2$  — скорости рекомбинации электронов и дырок соответственно через верхний и нижний уровни золота, которые зависят от температуры (интенсивностей тепловых забросов) и уровня возбуждения. Количественная оценка составляющих этих скоростей при различных условиях (температуры, уровня возбуждения, степени компенсации) позволяет определить роль I и II уровней в рекомбинации и прилипании носителей тока и выявить тем самым очищающие или гасящие свойства центров золота в кремнии.

В отличие от известной модели Роуза [3], объясняющей эффекты очищения и гашения при наличии двух независимых каналов рекомбинации, в случае многозарядных примесных центров уровни взаимосвязаны, и в результате перезарядки одни и те же примесные центры могут выступать в качестве центров очищения или гашения в зависимости от их зарядового состояния и концентрации. Рассмотрим влияние степени компенсации на концентрации центров золота в различном зарядовом состоянии и время жизни носителей тока.

Как видно из рис. 2, а и б, при низких температурах зависимость времени жизни электронов от степени компенсации кремния определяется ходом изменения  $N_1$ . Однозначная зависимость  $\tau_n$  от  $N_1$  и количественные оценки скоростей рекомбинации через уровни золота указывают на то, что рекомбинация происходит в основном через верхний акцепторный уровень. В области слабой компенсации ( $C > 1$ ) центры золота почти полностью заполнены электронами, что обеспечивает высокое постоянное время жизни для электронов и низкое — для дырок, отношение которых определяется уровнем возбуждения (при  $G = 10^{16} \text{ см}^{-3} \cdot \text{с}^{-1}$   $\tau_n/\tau_p = 10^8$ ). По мере приближения к точной компенсации ( $C=1$ ) уменьшение концентрации равновесных свободных электронов и рост концентрации нейтральных центров  $N_1$  приводят соответственно к падению времени жизни  $\tau_n$ , это более наглядно проявляется при низком уровне возбуждения. При точной компенсации ( $C=1$ ,  $N_{\text{Au}}=N_d$ ) время жизни электронов остается относительно большим. При перекомпенсации ( $C < 1$ ) имеют место (в соответствии с изменением концентрации нейтральных центров золота) дальнейшее падение, а затем рост  $\tau_n$  (1) (отметим, что при расчетах было принято:  $N_{\text{Au}} = 10^{15} \text{ см}^{-3} = \text{const}$ , а степень компенсации меняется путем изменения исходной концентрации мелких доноров). Время жизни для дырок  $\tau_p$  (1) при этом не меняется.

Как видно из рис. 2, б и 3, б, в области слабой компенсации ( $C > 1$ ) повышение температуры от 77 до 300 К вызывает сильное падение времени жизни электронов  $\tau_n$  (1), т. е. можно наблюдать температурное гашение фотопроводимости. Анализ показал, что уменьшение времени жизни электронов с температурой обусловлено не столько изменением заполнения центров золота, сколько увеличением концентрации равновесных носителей в зонах и усилением рекомбинации носителей. В области перекомпенсации рост температуры (рис. 2 и 3) вызывает заметное опустошение центров золота, что приводит к проявлению в рекомбинации и нижнего донорного уровня. Этим объясняется более резкий спад  $\tau_p$  (1).

Увеличение уровня фотовозбуждения также может привести к гашению фоточувствительности (рис. 2, б, кривые 1, 2), что обусловлено в отличие от случая температурного гашения оптической перезарядкой центров золота.

Таким образом, аналогичные расчеты и анализ зависимости времени жизни неравновесных носителей тока от степени компенсации могут быть использованы при подборе исходного материала и режима его легирования в зависимости от назначения прибора (высокочувствительный фоторезистор либо быстродействующий импульсный диод и др.) и режима его работы (температуры, уровня инжеций, освещения и т. п.).

#### Список литературы

- [1] Абдукаримова Х. Р., Касымова Р. С. // ФТП. 1987. Т. 21. В. 2. С. 238—243.
- [2] Bullis W. M. // Sol. St. Electron. 1986. V. 9. N 2. P. 143.
- [3] Роуз А. Основы теории фотопроводимости. М. 1966. 192 с.